

Starkniederschlagshöhen und -spenden gemäß KOSTRA-DWD-2010R

Auswertungszeitraum von 1951 - 2010, Januar - Dezember

Rasterfeld: 76057

Zeile: 76

Spalte: 57

Seite: 1/2

| Dauerstufe D | | Wiederkehrzeit T | | | | | | | | | | | | | | | | | |
|--------------|-----|------------------|------------|------|------------|------|------------|------|------------|------|------------|------|------------|-------|------------|-------|------------|-------|------------|
| | | 1 a | | 2 a | | 3 a | | 5 a | | 10 a | | 20 a | | 30 a | | 50 a | | 100 a | |
| min | Std | mm | l / (s ha) | mm | l / (s ha) | mm | l / (s ha) | mm | l / (s ha) | mm | l / (s ha) | mm | l / (s ha) | mm | l / (s ha) | mm | l / (s ha) | mm | l / (s ha) |
| 5 | | 5,8 | 193,3 | 7,7 | 256,7 | 8,8 | 293,3 | 10,2 | 340,0 | 12,1 | 403,3 | 14,1 | 470,0 | 15,2 | 506,7 | 16,6 | 553,3 | 18,5 | 616,7 |
| 10 | | 8,9 | 148,3 | 11,5 | 191,7 | 13,0 | 216,7 | 14,9 | 248,3 | 17,5 | 291,7 | 20,1 | 335,0 | 21,6 | 360,0 | 23,5 | 391,7 | 26,1 | 435,0 |
| 15 | | 10,8 | 120,0 | 13,9 | 154,4 | 15,7 | 174,4 | 18,0 | 200,0 | 21,1 | 234,4 | 24,2 | 268,9 | 26,0 | 288,9 | 28,3 | 314,4 | 31,4 | 348,9 |
| 20 | | 12,1 | 100,8 | 15,6 | 130,0 | 17,7 | 147,5 | 20,3 | 169,2 | 23,8 | 198,3 | 27,3 | 227,5 | 29,4 | 245,0 | 32,0 | 266,7 | 35,5 | 295,8 |
| 30 | | 13,8 | 76,7 | 18,0 | 100,0 | 20,5 | 113,9 | 23,6 | 131,1 | 27,8 | 154,4 | 32,0 | 177,8 | 34,4 | 191,1 | 37,5 | 208,3 | 41,7 | 231,7 |
| 45 | | 15,3 | 56,7 | 20,3 | 75,2 | 23,2 | 85,9 | 26,9 | 99,6 | 31,9 | 118,1 | 36,9 | 136,7 | 39,8 | 147,4 | 43,5 | 161,1 | 48,5 | 179,6 |
| 60 | | 16,1 | 44,7 | 21,8 | 60,6 | 25,1 | 69,7 | 29,3 | 81,4 | 35,0 | 97,2 | 40,6 | 112,8 | 43,9 | 121,9 | 48,1 | 133,6 | 53,8 | 149,4 |
| 90 | | 17,7 | 32,8 | 23,5 | 43,5 | 26,9 | 49,8 | 31,2 | 57,8 | 37,0 | 68,5 | 42,8 | 79,3 | 46,2 | 85,6 | 50,4 | 93,3 | 56,2 | 104,1 |
| 120 | 2 | 19,0 | 26,4 | 24,9 | 34,6 | 28,3 | 39,3 | 32,6 | 45,3 | 38,5 | 53,5 | 44,4 | 61,7 | 47,9 | 66,5 | 52,2 | 72,5 | 58,1 | 80,7 |
| 180 | 3 | 20,9 | 19,4 | 26,9 | 24,9 | 30,4 | 28,1 | 34,9 | 32,3 | 40,9 | 37,9 | 46,9 | 43,4 | 50,4 | 46,7 | 54,8 | 50,7 | 60,8 | 56,3 |
| 240 | 4 | 22,4 | 15,6 | 28,5 | 19,8 | 32,1 | 22,3 | 36,6 | 25,4 | 42,7 | 29,7 | 48,8 | 33,9 | 52,3 | 36,3 | 56,8 | 39,4 | 62,9 | 43,7 |
| 360 | 6 | 24,7 | 11,4 | 30,9 | 14,3 | 34,5 | 16,0 | 39,1 | 18,1 | 45,4 | 21,0 | 51,6 | 23,9 | 55,2 | 25,6 | 59,8 | 27,7 | 66,1 | 30,6 |
| 540 | 9 | 27,2 | 8,4 | 33,5 | 10,3 | 37,2 | 11,5 | 41,9 | 12,9 | 48,3 | 14,9 | 54,7 | 16,9 | 58,4 | 18,0 | 63,1 | 19,5 | 69,4 | 21,4 |
| 720 | 12 | 29,1 | 6,7 | 35,5 | 8,2 | 39,3 | 9,1 | 44,1 | 10,2 | 50,5 | 11,7 | 57,0 | 13,2 | 60,8 | 14,1 | 65,5 | 15,2 | 72,0 | 16,7 |
| 1080 | 18 | 32,0 | 4,9 | 38,6 | 6,0 | 42,5 | 6,6 | 47,4 | 7,3 | 53,9 | 8,3 | 60,5 | 9,3 | 64,4 | 9,9 | 69,3 | 10,7 | 75,9 | 11,7 |
| 1440 | 24 | 34,3 | 4,0 | 41,0 | 4,7 | 44,9 | 5,2 | 49,9 | 5,8 | 56,5 | 6,5 | 63,2 | 7,3 | 67,2 | 7,8 | 72,1 | 8,3 | 78,8 | 9,1 |
| 2880 | 48 | 43,9 | 2,5 | 53,1 | 3,1 | 58,6 | 3,4 | 65,4 | 3,8 | 74,6 | 4,3 | 83,9 | 4,9 | 89,3 | 5,2 | 96,1 | 5,6 | 105,4 | 6,1 |
| 4320 | 72 | 50,7 | 2,0 | 61,4 | 2,4 | 67,7 | 2,6 | 75,7 | 2,9 | 86,4 | 3,3 | 97,1 | 3,7 | 103,4 | 4,0 | 111,4 | 4,3 | 122,1 | 4,7 |

Angaben in mm: Bemessungsniederschlagswerte h(n)

Angaben in l / (s ha): Regenspende R(n) mit $R(n) = h(n) \times 1,666667 / D[\text{min}]$

Toleranzbereiche:

+/- 10 % für $1 a \leq T \leq 5 a$

+/- 15 % für $5 a < T \leq 50 a$

+/- 20 % für $50 a < T \leq 100 a$

Datenbasis: KOSTRA-DWD-2010R des Deutschen Wetterdienstes. Die Regenspende wurde auf Basis des Bemessungsniederschlags zur jeweiligen Andauer berechnet.

Für die Richtigkeit und Aktualität der Angaben wird keine Gewähr übernommen. Erstellt 07/2022.

Starkniederschlagshöhen und -spenden gemäß KOSTRA-DWD-2010R

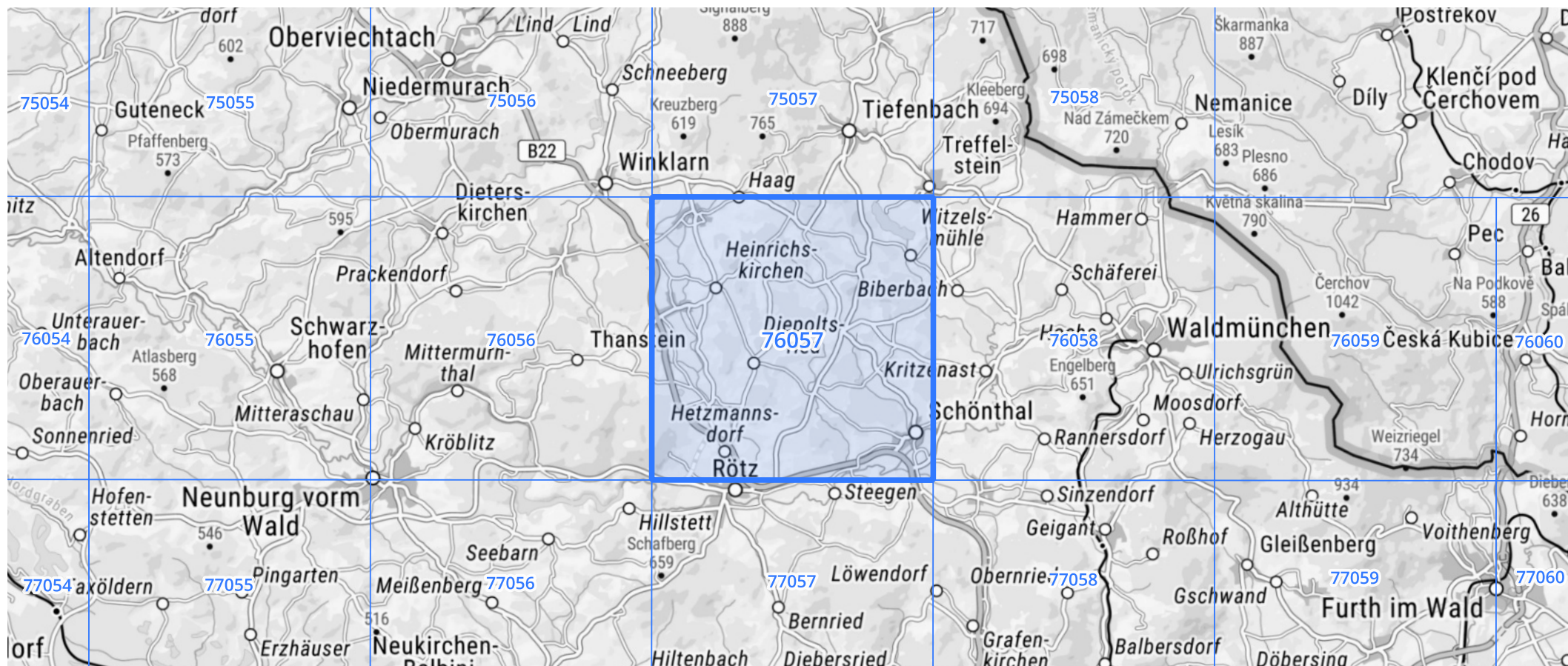
Auswertungszeitraum von 1951 - 2010, Januar - Dezember

Rasterfeld: 76057

Zeile: 76

Spalte: 57

Seite: 2/2



Quelle Rasterdaten: KOSTRA-DWD-2010R des Deutschen Wetterdienstes.

Kartendarstellung: © Bundesamt für Kartographie und Geodäsie (2022), Datenquellen: https://sgx.geodatenzentrum.de/web_public/gdz/datenquellen/Datenquellen_TopPlusOpen.html

Für die Richtigkeit und Aktualität der Angaben wird keine Gewähr übernommen. Erstellt 07/2022.